

圧縮破壊したが、 40kg/cm^2 のプレストレスを導入した場合には最大耐力時に主鉄筋も降伏した(図2-(3))。

さらに、 $p_w = 0.74\%$ の長方形断面はりと $p_w = 0.93\%$ のT形断面はりはいずれも曲げ破壊を呈した。

(2) せん断ひびわれ耐力と破壊耐力

せん断ひびわれ耐力と破壊耐力の実験値を計算値と併せて表1に示す。せん断ひびわれ耐力(コンクリート負担せん断耐力)の計算値 P_{sc} とせん断破壊耐力の計算値 P_{su} は土木学会式で部分安全係数を全て1.0として算定した値である。

表1に示すように $20\sim40\text{kg/cm}^2$ 程度の比較的少量のプレストレスを導入することによって、せん断ひびわれ耐力が増大すると同時に、スターラップが配置されていない場合でもせん断ひびわれ発生後の余剰耐力が著しく増大する。なお、この余剰耐力はT形断面の方が大きくなることが認められる。

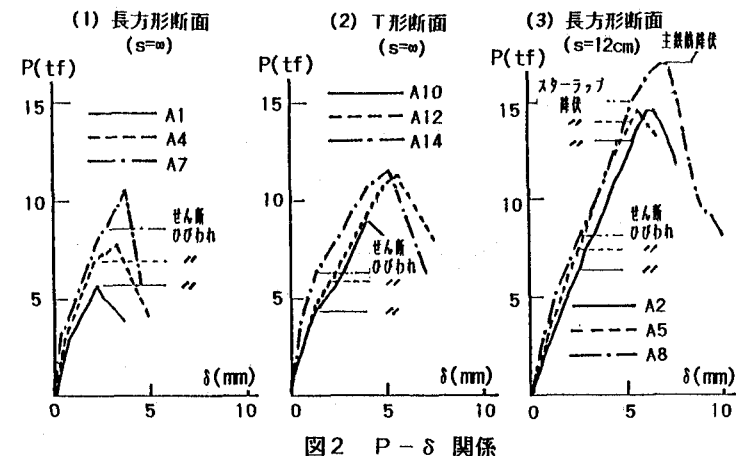
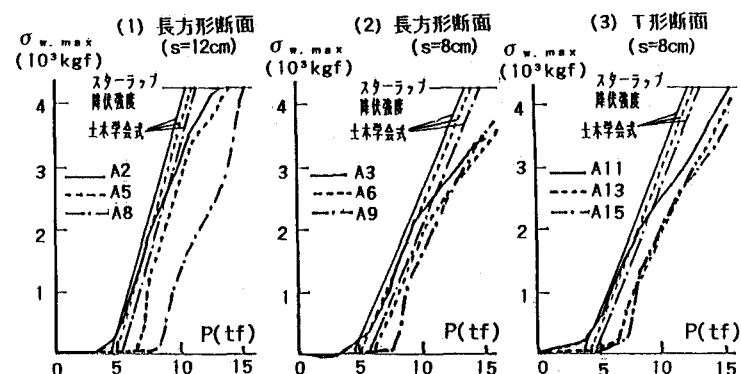
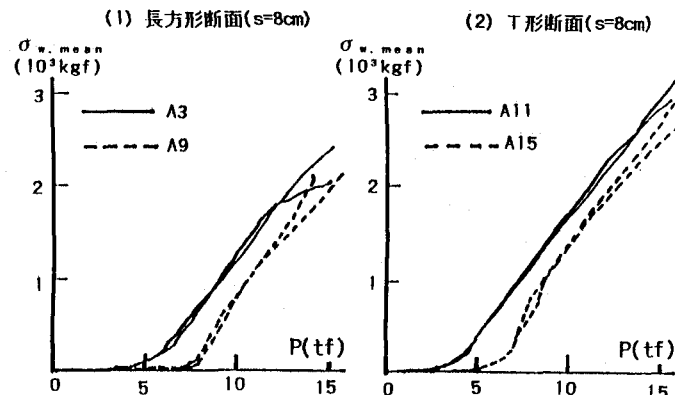
一方、せん断ひびわれ耐力に関する土木学会設計式は部分安全係数の値を全て1.0とした場合でもかなり安全側の値を与え、プレストレスレベルが大きいほどその傾向が顕著である。

(3) スターラップ筋の応力

図3に荷重-スターラップ筋の最大応力($P - \sigma_{w,\max}$)、図4に荷重-スターラップ筋の平均応力($P - \sigma_{w,\text{mean}}$)関係を示す。

図3から、プレストレスレベルが 40kg/cm^2 程度以下の場合 $P - \sigma_{w,\max}$ 関係の増加勾配は近似的に 45° ト拉斯理論に基づいた土木学会式による計算値に等しいが、 $\sigma_{w,\max}$ の実験値そのものは計算値に較べるとかなり小さい。

一方、図4から $P - \sigma_{w,\text{mean}}$ 関係の増加勾配はプレストレスレベル $0\sim40\text{kg/cm}^2$ の範囲内ではほぼ等しく、バーシャルPCはりのスターラップ筋によるせん断補強の効果は導入プレストレスの大きさには影響されないと考えられる。

図2 $P - \delta$ 関係図3 $P - \sigma_{w,\max}$ 関係図4 $P - \sigma_{w,\text{mean}}$ 関係